



## Anclaje mortero epoxy vinylester, para uso en hormigón no fisurado

**MO-V**

Homologado ETA Opción 7 [hormigón no fisurado].



### INFORMACIÓN DEL PRODUCTO

#### DESCRIPCIÓN

Anclaje químico, epoxy vinylester.

#### DOCUMENTACION OFICIAL

- ETA 13/0753 opción 7, de M8 a M24 para hormigón no fisurado.
- Declaración prestaciones DoP MO-V.
- Certificado EVCP 1020-CPR-090-041424 para uso en hormigón.

#### VÁLIDO PARA



Espárrago

#### MEDIDAS

Espárrago M8 - M24

#### RANGO DE CARGAS DE CÁLCULO

Desde 13,4 a 66,0 kN [no fisurado].

#### MATERIAL BASE

Hormigón de calidad C20/25 a C50/60 no fisurado.



Hormigón

#### HOMOLOGACIONES

- ETA 13/0753 [ETAG 001-5] Opción 7: hormigón no fisurado.



#### CONDICIÓN DEL TALADRO



#### CARACTERÍSTICAS Y BENEFICIOS

- Fácil instalación.
- Uso en hormigón no fisurado.
- Empleo para cargas altas.
- Rango de temperatura de -40°C a +80°C [máxima temperatura a largo plazo +50°C].
- Variedad de longitudes y diámetro: espárragos homologados M8-M24, flexibilidad en el montaje.
- Para cargas estáticas o cuasi-estáticas.
- Versión en acero cincado, acero inoxidable A2 y A4.
- Disponible en INDEXcal.



#### MATERIALES

Espárrago estándar:

Acero al carbono, cincado  $\geq 5 \mu\text{m}$ .

Espárrago estándar inoxidable:

Acero inoxidable A2-70 y A4-70.



#### APLICACIONES

- Para uso interior y exterior.
- Aplicaciones estructurales.
- Barreras de seguridad.
- Fijación de vallas de carretera.
- Fijación de carteles, maquinaria, calderas, señales, vallas publicitarias, etc.





**PARAMETROS DE INSTALACIÓN EN HORMIGÓN**

MÉTRICA			M8	M10	M12	M16	M20	M24
$d_0$	diámetro nominal	[mm]	10	12	14	18	22	26
$d_f$	diámetro en placa anclaje $\leq$	[mm]	9	12	14	18	22	26
$T_{inst}$	par de apriete $\leq$	[Nm]	10	20	40	80	150	200
Cepillo limpieza circular			Ø14		Ø20		Ø29	

**$h_{ef,min} = 8d$**

$h_1$	profundidad del taladro	[mm]	64	80	96	128	160	192
$s_{cr,N}$	distancia crítica entre anclajes	[mm]	192	240	288	384	480	576
$c_{cr,N}$	distancia crítica al borde	[mm]	96	120	144	192	240	288
$c_{min}$	distancia mínima al borde	[mm]	35	40	50	65	80	96
$s_{min}$	distancia mínima entre anclajes	[mm]	35	40	50	65	80	96
$h_{min}$	espesor mínimo de hormigón	[mm]	100	110	126	158	204	244

**Espárrago estándar**

$h_1$	profundidad del taladro	[mm]	80	90	110	128	170	210
$s_{cr,N}$	distancia crítica entre anclajes	[mm]	240	270	330	384	510	630
$c_{cr,N}$	distancia crítica al borde	[mm]	120	135	165	192	255	315
$c_{min}$	distancia mínima al borde	[mm]	43	45	56	65	85	105
$s_{min}$	distancia mínima entre anclajes	[mm]	43	45	56	65	85	105
$h_{min}$	espesor mínimo de hormigón	[mm]	110	120	140	158	214	262

**$h_{ef,max} = 12d$**

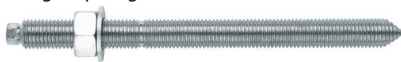
$h_1$	profundidad del taladro	[mm]	96	120	144	192	240	288
$s_{cr,N}$	distancia crítica entre anclajes	[mm]	288	360	432	576	720	864
$c_{cr,N}$	distancia crítica al borde	[mm]	144	180	216	288	360	432
$c_{min}$	distancia mínima al borde	[mm]	50	60	70	95	120	145
$s_{min}$	distancia mínima entre anclajes	[mm]	50	60	70	95	120	145
$h_{min}$	espesor mínimo de hormigón	[mm]	126	150	174	222	284	340

Código espárrago zincado

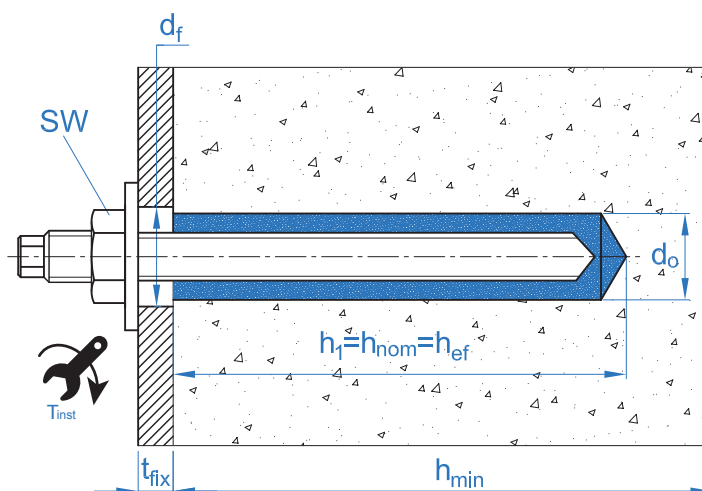


EQAC08110	EQAC10130	EQAC12160	EQAC16190	EQAC20260	EQAC24300
-----------	-----------	-----------	-----------	-----------	-----------

Código espárrago inoxidable A2 / A4



EQA208110 EQA408110	EQA210130 EQA410130	EQA212160 EQA412160	EQA216190 EQA416190	EQA220260 EQA420260	EQA224300 EQA424300
------------------------	------------------------	------------------------	------------------------	------------------------	------------------------





ACCESORIOS DE INSTALACIÓN			PROCEDIMIENTO DE INSTALACIÓN
CÓDIGO	PRODUCTO	MATERIAL	HORMIGÓN
MOPISSI	PISTOLAS APLICACIÓN	Pistola para cartuchos de 300 ml	
MOPISTO		Pistola para cartuchos coaxiales de 410 ml, uso profesional	
MOPISEU		Pistola neumática para cartuchos coaxiales de 410 ml, uso profesional	
EQ-AC EQ-A2 EQ-A4	ESPÁRRAGO	Espárragos acero roscado, clase 5.8 ISO 898-1 Espárragos acero inoxidable A2-70 Espárragos acero inoxidable A4-70	
MORCEPKIT	CEPILLOS LIMPIADORES	Kit de 3 cepillos limpiadores de $\varnothing 14$ , $\varnothing 20$ y $\varnothing 29$ mm	
MOBOMBA	BOMBA LIMPIADORA	Bomba para la limpieza de restos de polvo y fragmentos en el taladro	
MORCANU	CÁNULA MEZCLADORA	Plástico. Mezcla estática por laberinto	

TIEMPO MÍNIMO DE CURADO			
TIPO	TEMPERATURA MATERIAL BASE [°C]	TIEMPO DE MANIPULACIÓN [min]	TIEMPO DE CURADO [min]
MO-V	min +5	18	120
	+5 a +10	12	120
	+10 a +20	6	80
	+20 a +25	4	40
	+25 a +30	3	30
	+30 a +35	2	20
	+35 a +40	1.5	15
	40	1.5	10



Resistencia en hormigón C20/25 para un anclaje aislado, sin efectos de distancia al borde ni distancia entre anclajes, con un espárrago estándar EQ-AC, EQ-A2 o EQ-A4.

Resistencia característica a tracción $N_{Rk}$								
Métrica			M8	M10	M12	M16	M20	M24
$N_{Rk}$	Hormigón no fisurado	[kN]	<u>18,0</u>	28,3	49,8	64,3	90,8	118,8
Resistencia de cálculo a tracción $N_{Rd}$								
Métrica			M8	M10	M12	M16	M20	M24
$N_{Rd}$	Hormigón no fisurado	[kN]	<u>12,0</u>	15,7	27,6	35,7	50,4	66,0
Carga máxima recomendada a tracción $N_{rec}$								
Métrica			M8	M10	M12	M16	M20	M24
$N_{rec}$	Hormigón no fisurado	[kN]	<u>8,6</u>	11,2	19,7	25,5	36,0	47,1
Resistencia característica a cortante $V_{Rk}$								
Métrica			M8	M10	M12	M16	M20	M24
$V_{Rk}$	Espárrago zincado	[kN]	<u>9,0</u>	<u>15,0</u>	<u>21,0</u>	<u>39,0</u>	<u>61,0</u>	<u>88,0</u>
	Espárrago inoxidable (A2/A4)	[kN]	<u>13,0</u>	<u>20,0</u>	<u>30,0</u>	<u>55,0</u>	<u>86,0</u>	<u>124,0</u>
Resistencia de cálculo a cortante $V_{Rd}$								
Métrica			M8	M10	M12	M16	M20	M24
$V_{Rd}$	Espárrago zincado	[kN]	<u>7,2</u>	<u>12,0</u>	<u>16,8</u>	<u>31,2</u>	<u>48,8</u>	<u>70,4</u>
	Espárrago inoxidable (A2/A4)	[kN]	<u>8,3</u>	<u>12,8</u>	<u>19,2</u>	<u>35,3</u>	<u>55,1</u>	<u>79,5</u>
Carga máxima recomendada a cortante $V_{rec}$								
Métrica			M8	M10	M12	M16	M20	M24
$V_{rec}$	Espárrago zincado	[kN]	<u>5,1</u>	<u>8,6</u>	<u>12,0</u>	<u>22,3</u>	<u>34,9</u>	<u>50,3</u>
	Espárrago inoxidable (A2/A4)	[kN]	<u>6,0</u>	<u>9,2</u>	<u>13,7</u>	<u>25,2</u>	<u>39,4</u>	<u>56,8</u>
Profundidad efectiva de espárragos EQ-AC / EQ-A2 / EQ-A4								
Métrica			M8	M10	M12	M16	M20	M24
Profundidad efectiva		[mm]	80	90	110	128	170	210

Los valores subrayados y en cursiva indican fallo del acero

## Método de cálculo simplificado. Evaluación Técnica Europea ETA 13/0753

Versión simplificada del método de cálculo según la ETAG 001, informe técnico TR029. La resistencia se calcula según los datos reflejados en la homologación ETA 13/0753.

- Influencia de la resistencia de hormigón.
- Influencia de la distancia al borde del hormigón.
- Influencia de la distancia entre anclajes.
- Influencia de armaduras.
- Influencia del espesor del material base.
- Influencia del ángulo de aplicación de la carga.
- Influencia de la profundidad efectiva.
- Valido para un grupo de dos anclajes.
- Valido para taladros secos o húmedos.

El método de cálculo está basado en la siguiente simplificación:  
**No actúan cargas diferentes en anclajes individuales, sin excentricidad.**



### INDEXcal

Para un cálculo más preciso y teniendo en cuenta más disposiciones constructivas recomendamos el empleo de nuestro programa de cálculo INDEXcal. Lo puede descargar libremente desde nuestra página [www.indexfix.com](http://www.indexfix.com)



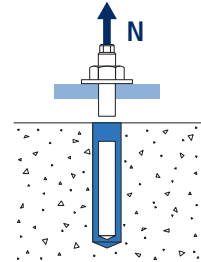
## CARGAS A TRACCIÓN

- Resistencia de cálculo del acero:  $N_{Rd,s}$
- Resistencia de cálculo por extracción:  $N_{Rd,p} = N_{Rd,p}^o \cdot \psi_c \cdot \psi_{hef,p}$
- Resistencia de cálculo por cono del hormigón:  $N_{Rd,c} = N_{Rd,c}^o \cdot \psi_b \cdot \psi_{s,N} \cdot \psi_{c,N} \cdot \psi_{re,N} \cdot \psi_{hef,N}$
- Resistencia de cálculo por fisuración del hormigón:  $N_{Rd,sp} = N_{Rd,c}^o \cdot \psi_b \cdot \psi_{s,sp} \cdot \psi_{c,sp} \cdot \psi_{re,N} \cdot \psi_{h,sp} \cdot \psi_{hef,N}$

**MO-V**

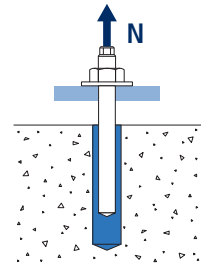
### Resistencia de cálculo del acero

		$N_{Rd,s}$						
Métrica		M8	M10	M12	M16	M20	M24	
$N_{Rd,s}^o$	Acero clase 5.8	[kN]	12,0	19,3	28,0	52,7	82,0	118,0
	Acero clase 8.8	[kN]	19,3	30,7	44,7	84,0	130,7	188,0
	Acero clase 10.9	[kN]	27,8	43,6	63,2	118,0	184,2	265,4
	Acero inox. Clase A2-70, A4-70	[kN]	13,9	21,9	31,6	58,8	92,0	132,1



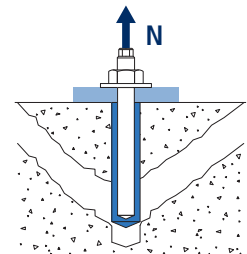
### Resistencia de cálculo por extracción

		$N_{Rd,p} = N_{Rd,p}^o \cdot \psi_c \cdot \psi_{hef,p}$						
Métrica		M8	M10	M12	M16	M20	M24	
$N_{Rd,p}^o$	Hormigón no fisurado	[kN]	13,4	15,7	27,6	35,7	50,4	66,0



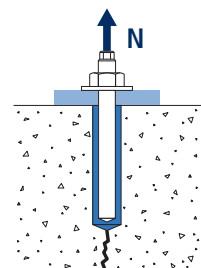
### Resistencia de cálculo por cono de hormigón

		$N_{Rd,c} = N_{Rd,c}^o \cdot \psi_b \cdot \psi_{s,N} \cdot \psi_{c,N} \cdot \psi_{re,N} \cdot \psi_{hef,N}$						
Métrica		M8	M10	M12	M16	M20	M24	
$N_{Rd,c}^o$	Hormigón no fisurado	[kN]	20,1	24,0	32,4	40,6	62,2	85,4



### Resistencia de cálculo por fisuración del hormigón

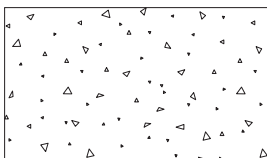
		$N_{Rd,sp} = N_{Rd,c}^o \cdot \psi_b \cdot \psi_{s,sp} \cdot \psi_{c,sp} \cdot \psi_{re,N} \cdot \psi_{h,sp} \cdot \psi_{hef,N}$						
Métrica		M8	M10	M12	M16	M20	M24	
$N_{Rd,sp}^o$	Hormigón no fisurado	[kN]	20,1	24,0	32,4	40,6	62,2	85,4





# MO-V

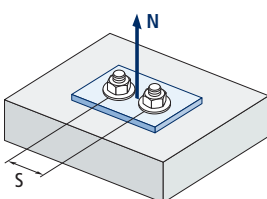
## Coeficientes de influencia



Influencia de la resistencia de hormigón para extracción $\Psi_c$					
Tipo de hormigón		C20/25	C30/37	C40/50	C50/60
$\Psi_c$	Hormigón no fisurado	1,00	1,12	1,19	1,30

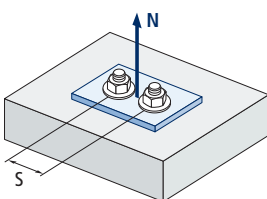
$$\Psi_b = \sqrt{\frac{f_{ck,cube}}{25}} \geq 1$$

Influencia de la resistencia de hormigón para cono de hormigón y fisuración del hormigón $\Psi_b$					
Tipo de hormigón		C20/25	C30/37	C40/50	C50/60
$\Psi_b$		1,00	1,22	1,41	1,55



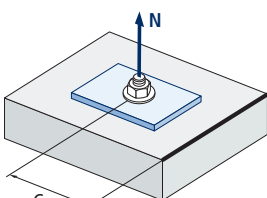
Influencia distancia entre anclajes (cono de hormigón) $\Psi_{s,N}$										
$s/s_{cr,N}$	0,1	0,2	0,3	0,4	0,5	0,6	0,7	0,8	0,9	1,0
$\Psi_{s,N}$	0,55	0,60	0,65	0,70	0,75	0,80	0,85	0,90	0,95	1,00

$$\Psi_{s,N} = 0,5 \left( 1 + \frac{s}{s_{cr,N}} \right) \leq 1$$



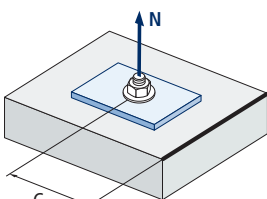
Influencia distancia entre anclajes (fisuración) $\Psi_{s,sp}$										
$s/s_{cr,sp}$	0,1	0,2	0,3	0,4	0,5	0,6	0,7	0,8	0,9	1,0
$\Psi_{s,sp}$	0,55	0,60	0,65	0,70	0,75	0,80	0,85	0,90	0,95	1,00

$$\Psi_{s,sp} = 0,5 \left( 1 + \frac{s}{s_{cr,sp}} \right) \leq 1$$



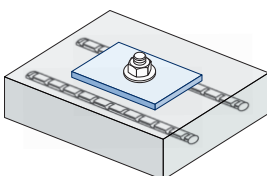
Influencia distancia al borde de hormigón (cono de hormigón) $\Psi_{c,N}$												
$c/C_{cr,N}$	0,1	0,2	0,3	0,5	0,6	0,8	0,9	1,1	1,2	1,4	1,5	1,6
$\Psi_{c,N}$	0,40	0,46	0,51	0,45	0,49	0,55	0,61	0,67	0,75	0,83	0,91	1,00

$$\Psi_{c,N} = 0,35 + \frac{0,5 \cdot c}{C_{cr,N}} + \frac{0,15 \cdot c^2}{C_{cr,N}^2} \leq 1$$



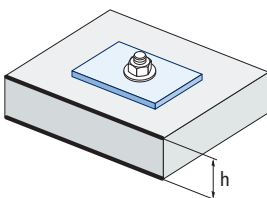
Influencia distancia al borde de hormigón (fisuración) $\Psi_{c,sp}$												
$c/C_{cr,sp}$	0,1	0,2	0,3	0,5	0,6	0,8	0,9	1,1	1,2	1,4	1,5	1,6
$\Psi_{c,sp}$	0,40	0,46	0,51	0,45	0,49	0,55	0,61	0,67	0,75	0,83	0,91	1,00

$$\Psi_{c,sp} = 0,35 + \frac{0,5 \cdot c}{C_{cr,sp}} + \frac{0,15 \cdot c^2}{C_{cr,sp}^2} \leq 1$$



Influencia de las armaduras $\Psi_{re,N}$					
$h_{ef}$ (mm)	64	70	80	90	100
$\Psi_{re,N}$	0,82	0,85	0,90	0,95	1,00

$$\Psi_{re,N} = 0,5 + \frac{h_{ef}}{200} \leq 1$$



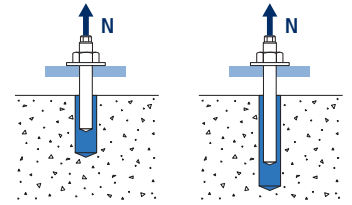
Influencia del espesor del material base $\Psi_{h,sp}$											
$\Psi_{h,sp}$	$h/h_{ef}$	2,00	2,20	2,40	2,60	2,80	3,00	3,20	3,40	3,60	3,68
	$f_h$	1,00	1,07	1,13	1,19	1,25	1,31	1,37	1,42	1,48	1,50

$$\Psi_{h,sp} = \left( \frac{h}{2 \cdot h_{ef}} \right)^{2/3} \leq 1,5$$



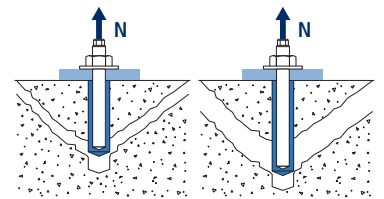
## MO-V

Influencia de la profundidad efectiva para combinación de extracción $\Psi_{hef,p}$						
Métrica $h_{ef}$	M8	M10	M12	M16	M20	M24
64	0,80					
80	1,00	0,89				
90	1,13	1,00	0,82			
96	1,20	1,07	0,87			
110		1,22	1,00			
120		1,33	1,09			
128			1,16	1,00		
144			1,31	1,13		
160				1,25	0,94	
170				1,33	1,00	
192				1,50	1,13	0,91
210					1,24	1,00
240					1,41	1,14
288						1,37



$$\Psi_{hef,p} = \frac{h_{ef}}{h_{stand}}$$

Influencia de la profundidad efectiva para cono de hormigón $\Psi_{hef,N}$						
Métrica $h_{ef}$	M8	M10	M12	M16	M20	M24
64	0,72					
80	1,00	0,84				
90	1,19	1,00				
96	1,31	1,10	0,82			
110	1,61	1,35	1,00			
120	1,84	1,54	1,14	0,91		
128	2,02	1,70	1,26	1,00	0,65	
144		2,02	1,50	1,19	0,78	
160		2,37	1,75	1,40	0,91	0,67
170		2,60	1,92	1,53	1,00	0,73
192			2,31	1,84	1,20	0,87
210			2,64	2,10	1,37	1,00
240			3,22	2,57	1,68	1,22
288				3,38	2,21	1,61



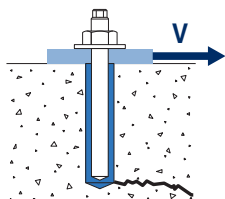
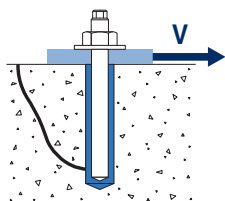
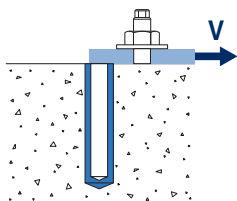
$$\Psi_{hef,N} = \left( \frac{h_{ef}}{h_{stand}} \right)^{1,5}$$



MO-V

CARGAS A CORTANTE

- Resistencia de cálculo del acero sin brazo de palanca:  $V_{Rd,s}$
- Resistencia de cálculo por desconchamiento:  $V_{Rd,cp} = k \cdot N_{Rd,c}^{\circ}$
- Resistencia de cálculo por borde de hormigón:  $V_{Rd,c} = V_{Rd,c}^{\circ} \cdot \Psi_b \cdot \Psi_{se,V} \cdot \Psi_{c,V} \cdot \Psi_{re,V} \cdot \Psi_{\alpha,V} \cdot \Psi_{h,V}$



Resistencia de cálculo del acero a cortante

		$V_{Rd,s}$						
Métrica		M8	M10	M12	M16	M20	M24	
$V_{Rd,s}^{\circ}$	Acero clase 5.8	[kN]	7,2	12	16,8	31,2	48,8	70,4
	Acero clase 8.8	[kN]	12	18,4	27,2	50,4	78,4	112,8
	Acero clase 10.9	[kN]	12	19,3	28	52,7	82	118
	Acero inox. Clase A2-70, A4-70	[kN]	8,3	12,8	19,2	35,3	55,1	79,5

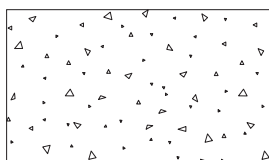
Resistencia de cálculo por desconchamiento

		$V_{Rd,cp} = k \cdot N_{Rd,c}^{\circ}$					
Métrica		M8	M10	M12	M16	M20	M24
k		2					

Resistencia de cálculo por borde de hormigón

		$V_{Rd,c} = V_{Rd,c}^{\circ} \cdot \Psi_b \cdot \Psi_{se,V} \cdot \Psi_{c,V} \cdot \Psi_{re,V} \cdot \Psi_{\alpha,V} \cdot \Psi_{h,V}$						
Métrica		M8	M10	M12	M16	M20	M24	
$V_{Rd,c}^{\circ}$	Hormigón no fisurado	[kN]	5,7	8,6	11,8	19,0	28,3	36,4

Coefficientes de influencia

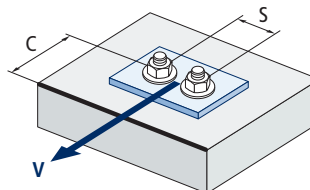
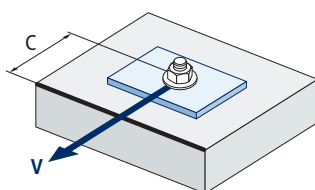


$$\Psi_b = \sqrt{\frac{f_{ck,cube}}{25}} \geq 1$$

Influencia de la resistencia de hormigón para cono de hormigón y fisuración del hormigón $\Psi_b$				
Tipo de hormigón	C20/25	C30/37	C40/50	C50/60
$\Psi_b$	1,00	1,22	1,41	1,55

Influencia de la distancia al borde y distancia entre anclajes  $\Psi_{se,V}$

Para un anclaje																	
$c/h_{ef}$	0,50	0,75	1,00	1,25	1,50	1,75	2,00	2,25	2,50	2,75	3,00	3,25	3,50	3,75	4,00	4,50	5,00
Aislado	0,35	0,65	1,00	1,40	1,84	2,32	2,83	3,38	3,95	4,56	5,20	5,86	6,55	7,26	8,00	9,55	11,18
Para dos anclajes																	
$c/h_{ef}$	0,50	0,75	1,00	1,25	1,50	1,75	2,00	2,25	2,50	2,75	3,00	3,25	3,50	3,75	4,00	4,50	5,00
1,0	0,24	0,43	0,67	0,93	1,22	1,54	1,89	2,25	2,64	3,04	3,46	3,91	4,37	4,84	5,33	6,36	7,45
1,5	0,27	0,49	0,75	1,05	1,38	1,74	2,12	2,53	2,96	3,42	3,90	4,39	4,91	5,45	6,00	7,16	8,39
2,0	0,29	0,54	0,83	1,16	1,53	1,93	2,36	2,81	3,29	3,80	4,33	4,88	5,46	6,05	6,67	7,95	9,32
2,5	0,32	0,60	0,92	1,28	1,68	2,12	2,59	3,09	3,62	4,18	4,76	5,37	6,00	6,66	7,33	8,75	10,25
$\geq 3,0$	0,35	0,65	1,00	1,40	1,84	2,32	2,83	3,38	3,95	4,56	5,20	5,86	6,55	7,26	8,00	9,55	11,18



$$\Psi_{se,V} = \left(\frac{c}{h_{ef}}\right)^{1,5}$$

$$\Psi_{se,V} = \left(\frac{c}{h_{ef}}\right)^{1,5} \cdot \left(1 + \frac{s}{3 \cdot c}\right) \cdot 0,5 \leq \left(\frac{c}{h_{ef}}\right)^{1,5}$$



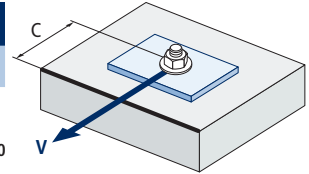


## MO-V

Influencia distancia al borde de hormigón  $\Psi_{c,v}$ 

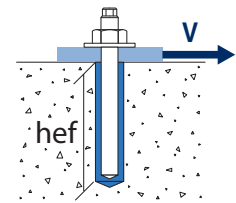
c/d	4	5	7	10	15	20	25	30
$\Psi_{c,v}$	0,76	0,72	0,68	0,63	0,58	0,55	0,53	0,51

$$\Psi_{c,v} = \left(\frac{d}{c}\right)^{0,20}$$

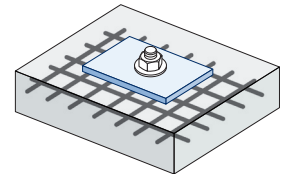
Influencia de la profundidad efectiva  $\Psi_{hef,v}$ 

$h_{ef}/d$	8	9	10	11	12
$\Psi_{hef,v}$	1,65	2,04	2,47	2,93	3,42

$$\Psi_{hef,v} = 0,04 \cdot \left(\frac{h_{ef}}{d}\right)^{1,79}$$

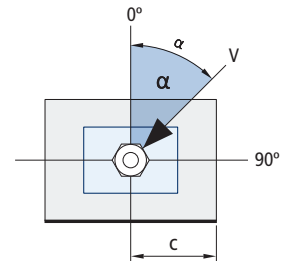
Influencia de las armaduras  $\Psi_{re,v}$ 

$\Psi_{re,v}$	Hormigón no fisurado			
	Sin armadura perimetral	Armadura perimetral $\geq \text{Ø}12\text{mm}$	Armadura perimetral con estribos $a \leq 100\text{mm}$	
	1	1	1	

Influencia del ángulo de aplicación de la carga  $\Psi_{\alpha,v}$ 

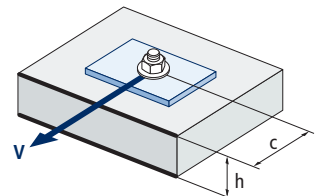
Ángulo, $\alpha$ (°)	0°	10°	20°	30°	40°	50°	60°	70°	80°	90°
$\Psi_{\alpha,v}$	1,00	1,01	1,05	1,13	1,24	1,40	1,64	1,97	2,32	2,50

$$\Psi_{\alpha,v} = \sqrt{\frac{1}{(\cos \alpha_v)^2 + \left(\frac{\sin \alpha_v}{2,5}\right)^2}} \geq 1$$

Influencia del espesor del material base  $\Psi_{h,v}$ 

h/c	0,15	0,30	0,45	0,60	0,75	0,90	1,05	1,20	1,35	$\geq 1,5$
$\Psi_{h,v}$	0,32	0,45	0,55	0,63	0,71	0,77	0,84	0,89	0,95	1,00

$$\Psi_{h,v} = \left(\frac{h}{1,5 \cdot c}\right)^{0,5} \geq 1,0$$





MO-V

GAMA  
EPOXY VINYLESTER



CÓDIGO	MEDIDA	
<b>NORMAL</b>		
MO-V300	300 ml	12
MO-V410	410 ml	12



Hormigón



Accesorios para cartuchos de anclajes químicos

MO-PIS Pistolas aplicadoras



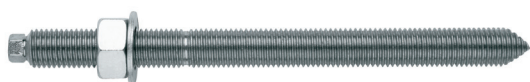
CÓDIGO	MODELO
MOPISTO	Manual
MOPISPR	Profesional 410 ml
MOPISSI	Silicona 300 ml
MOPISEU	Neumática

MO-AC Cánulas mezcladoras y varios



CÓDIGO	MODELO
MOBOMBA	Bomba sopladora
MORCANU	Cánula 170 - 300 - 410 ml
MORCEPKIT	Kit 3 cepillos

EQ-AC Zincado



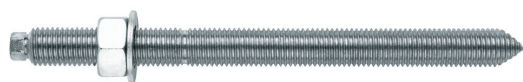
CÓDIGO	MEDIDA
EQAC08110	M8 x 110
EQAC10130	M10 x 130
EQAC12160	M12 x 160
EQAC16190	M16 x 190
EQAC20260	M20 x 260
EQAC24300	M24 x 300
EQAC30330	M30 x 330

EQ-A2 Inoxidable A2



CÓDIGO	MEDIDA
EQA208110	M8 x 110
EQA210130	M10 x 130
EQA212160	M12 x 160
EQA216190	M16 x 190
EQA220260	M20 x 260
EQA224300	M24 x 300
EQA230330	M30 x 330

EQ-A4 Inoxidable A4



CÓDIGO	MEDIDA
EQA408110	M8 x 110
EQA410130	M10 x 130
EQA412160	M12 x 160
EQA416190	M16 x 190
EQA420260	M20 x 260
EQA424300	M24 x 300
EQA430330	M30 x 330